

Tabla 1 Pérdidas de energías continuas y caída de presión esperada.											
Tubería						14		12		7	
Longitud [m]						1		0,5		1	
Diámetro interior [m]						0,0212		0,0136		0,0160	
Sección [m²]						0,000353		0,000145		0,000201	
Rugosidad absoluta (ϵ) [m]						0		0		0,0000025	
Tubería	Q(l/h)	U (m/s)	ϵ/D	T (°C)	$\rho(H_2O)$	$v(H_2O) (*10^6)$	$\rho(Hg)$	Re_d	f	h_f [m.c.a.]	ΔP [mmHg]
14	3000	2,361	0	21	998	0,98	13543	51070,127	0,00389	0,0521	4,145
	2600	2,046	0	21	998	0,98	13543	44260,777	0,00402	0,0404	3,216
	2000	1,574	0	21	998	0,98	13543	34046,751	0,00427	0,0254	2,022
	1200	0,944	0	21	998	0,98	13543	20428,051	0,00483	0,0104	0,824
12	3000	5,737	0	21	998	0,98	13543	79609,315	0,00353	0,2175	17,307
7	3000	4,145	0,00016	21	998	0,98	13543	67667,918	0,00376	0,2056	16,358

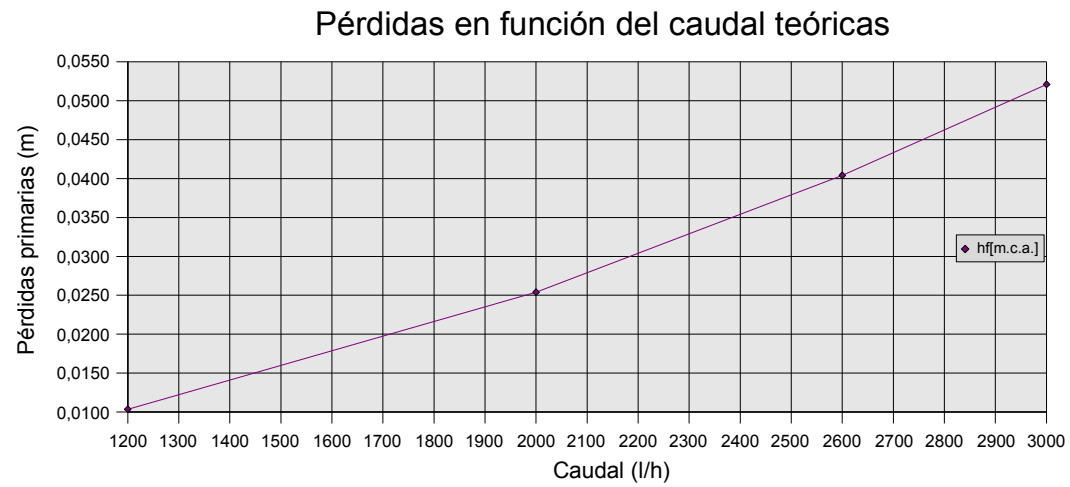


Tabla 2 Cálculos previos de pérdidas de energía localizadas en el ensanchamiento/estrechamiento brusco para el caudal de 3000 l/h y caída de presión esperada.

Tipo	U_1 [m/s]	U_2 [m/s]	T (°C)	$\rho(H_2O)$	$v(H_2O) (*10^6)$	K_1	K_2	H_s [m.c.a.]	ΔP [mm.ca]
Ensanchamiento	2,36	0,52	25	997	0,892	0,608	12,572	0,173	172,83
Estrechamiento	2,36	0,52	25	997	0,892	0,390	8,059	0,111	110,787

<i>Tabla 3 Medidas experimentales, comparación con los resultados previos a la práctica en las pérdidas de energía por fricción.</i>				
Tubería	Q [l/h]	$\Delta P_{\text{teórica}}$ [mm.c.Hg]	$\Delta P_{\text{experim.}}$ [mm.c.Hg]	% error
14	3000	4,145	17	310,161
	2600	3,216	13	304,279
	2000	2,022	9	345,117
	1200	0,824	3,97	381,921
12	3000	17,307	7,353	57,514
7	3000	16,358	6,25	61,792

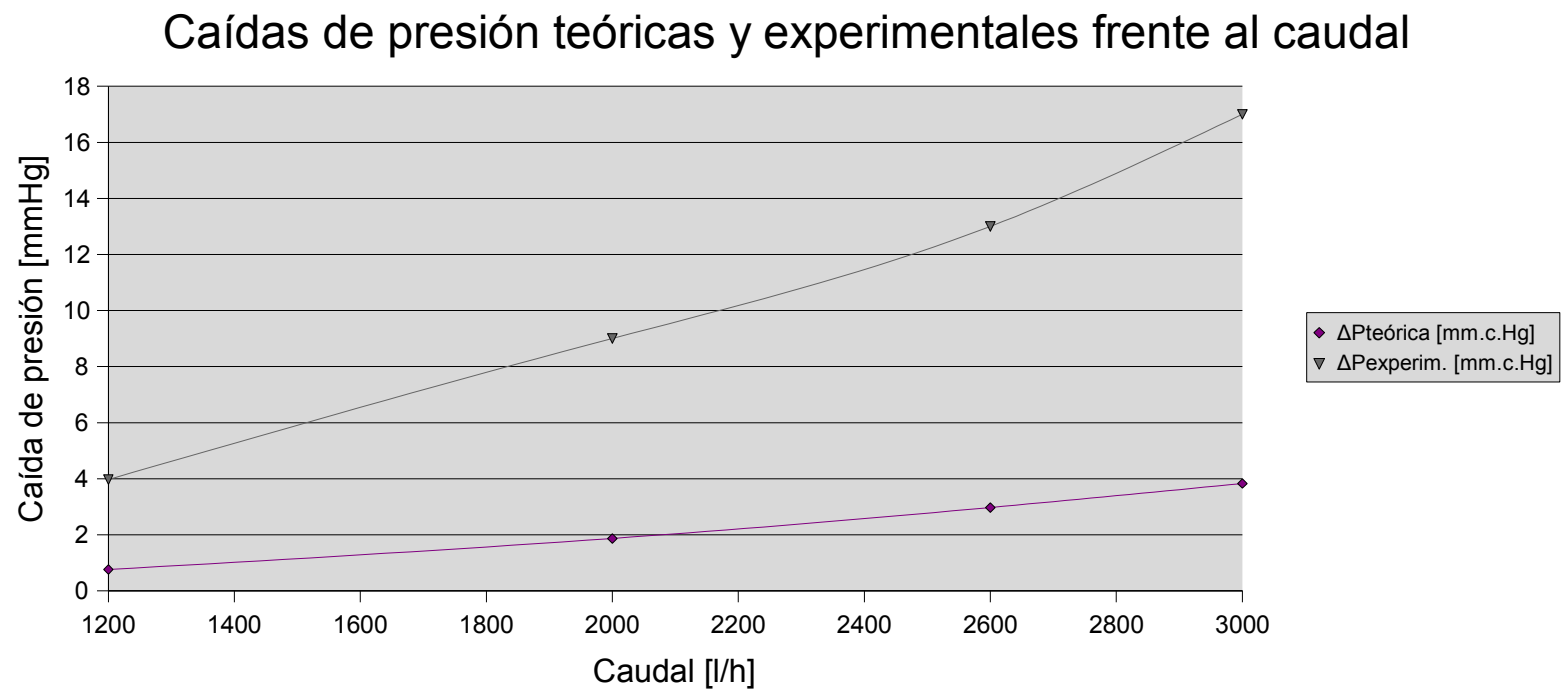
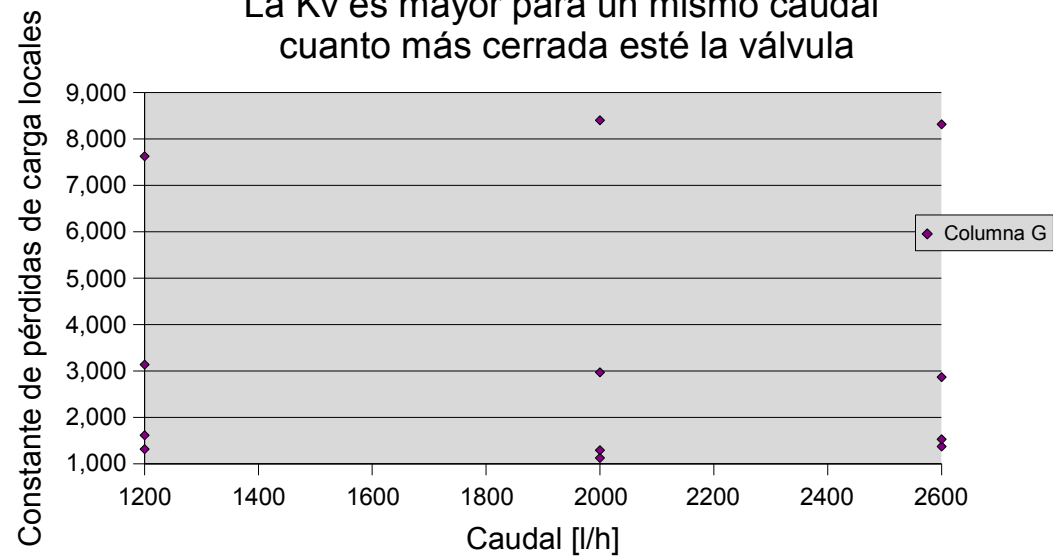


Tabla 4 Medidas experimentales, comparación con los resultados previos a la práctica y cálculo de los coeficientes de pérdida de carga para los distintos accesorios.									
Tipo	Q [l/h]	T (°C)	$\rho(\text{H}_2\text{O})$	$v(\text{H}_2\text{O}) (*10^6)$	ΔP [mm.ca]	H_s [m]	K_1^*	K_2^*	% error
Ensanchamiento brusco	3000	25	997	0,892	172,83	0,173	0,608	12,572	50,819
Estrechamiento brusco	3000	25	997	0,892	110,787	0,111	8,059	0,39	215,922
Codo 90° (experimental)	3000	25	997	0,892	140	0,14	1777,711	---	---
Codo 45° (experimental)	3000	25	997	0,892	75	0,075	952,345	---	---

<i>Tabla 4 Medidas experimentales, cálculo de los coeficientes de pérdida de carga y coeficiente de descarga para distintas válvulas.</i>						
Tipo de válvula	Grado de apertura	Q [l/h]	H _s [m]	ΔP [mmHg]	C _d	K _v
De Compuerta	Totalmente abierta	3000	0,503	40	1,319	0,574
De Bola	Totalmente abierta	3000	0,126	10	2,639	0,144
Antirretorno	Totalmente abierta	3000	0,704	56	1,115	0,804
De Asiento	4,0	2600	0,905	72	0,852	1,377
		2000	0,503	40	0,880	1,293
		1200	0,185	15	0,870	1,320
	3,2	2600	1,006	80	0,809	1,530
		2000	0,440	35	0,940	1,131
		1200	0,226	18	0,787	1,616
	2,5	2600	1,886	150	0,590	2,868
		2000	1,157	92	0,580	2,973
		1200	0,440	35	0,564	3,142
	2,0	2600	5,470	435	0,347	8,318
		2000	3,269	260	0,345	8,402
		1200	1,069	85	0,362	7,630

Válvula de asiento con distintos grados de apertura

La Kv es mayor para un mismo caudal
cuanto más cerrada esté la válvula



<i>Dimensiones de los elementos</i>		
Tubería principal	Material	PVC
	Rugosidad absoluta (ϵ)	0
	Diámetro interior (D) [m]	0,0212
Tramos n° 7 y n° 14	Longitud (L) [m]	1
Tramo n° 12	Longitud (L) [m]	0,5
Tubería de acero galvanizado	Rugosidad absoluta (ϵ)	0,25
	Diámetro interior (D) [m]	0,016
Tubería de cobre	Rugosidad absoluta (ϵ)	0,0025
	Diámetro interior (D) [m]	0,016
Tubo venturi	Diámetro garganta (D) [m]	0,012
Ensanchamiento brusco / estrechamiento brusco	Relación diámetros [m]	0,4690

Temperatura	$\rho(\text{H}_2\text{O})$	$\nu(\text{H}_2\text{O})$	$\rho(\text{Hg})$	g
[°C]	[kg/m³]	[* 10 ⁶ m²/s]	[kg/m³]	[m/s²]
0	999,8	1,791	13595	9,81
1	999,9	1,731	13593	
2	1000	1,674	13590	
3	1000	1,62	13588	
4	1000	1,568	13585	
5	999,9	1,52	13583	
6	999,9	1,473	13580	
7	999,9	1,429	13578	
8	999,9	1,387	13575	
9	999,8	1,346	13573	
10	999,7	1,308	13570	
11	999,6	1,271	13568	
12	999,5	1,236	13565	
13	999,4	1,202	13563	
14	999,2	1,17	13561	
15	999,1	1,14	13558	
16	998,9	1,11	13556	
17	998,8	1,082	13553	
18	998,6	1,055	13551	
19	998,4	1,029	13548	
20	998,2	1,004	13546	
21	998	0,98	13543	
22	997,8	0,957	13541	

23	997,5	0,934	13538
24	997,3	0,931	13536
25	997	0,892	13534
26	996,8	0,873	13531
27	996,5	0,854	13529
28	996,2	0,835	13526
29	995,9	0,817	13524
30	995,7	0,8	13521
31	995,3	0,784	13519
32	995	0,768	13516
33	994,7	0,753	13514
34	994,4	0,738	13511
35	994	0,723	13509
36	993,7	0,709	13507
37	993,3	0,696	13504
38	993	0,683	13502
39	992,6	0,67	13499
40	992,2	0,658	13497